

УЗКИЕ МОЛЕКУЛЯРНЫЕ РЕЗОНАНСЫ  
ПРИ НАСЫЩЕНИИ ПОГЛОЩЕНИЯ  
В РАЗНЕСЕННЫХ СВЕТОВЫХ ЛУЧАХ

O.Н.Компанец, B.С.Лемехов

1. В статье сообщается о первом наблюдении узких молекулярных резонансов внутри допплеровской линии при насыщении поглощения в поле двух параллельных *пространственно разнесенных* световых волн. Этот эффект представляет значительный интерес для исследования рассеяния молекул на малые углы, исследования когерентного взаимодействия молекул со световым полем и стабилизации частоты газовых лазеров.

2. При насыщении поглощения на *допплеровски-ширенном* переходе когерентной бегущей волной в контуре выжигается "дырка" за счет насыщения поглощения молекул, находящихся в резонансе с полем, т.е. имеющих определенную проекцию скорости  $v$  на направление распространения волны  $k$ :

$$|\omega_0 - \nu - kv| \lesssim \Gamma \ll \Delta\omega_{\text{доп}} \quad (1)$$

где  $\omega_0$ ,  $\Gamma$  и  $\Delta\omega_{\text{доп}}$  – частота центра, однородная ширина и полная ширина допплеровской линии,  $\nu$  – частоты волны. При большом времени жизни возбужденные молекулы могут распространяться в пространство вокруг луча. Столкновения молекул между собой изменяют направление скорости молекул и "дырка" в распределении молекул по скоростям очень быстро "расплывается". Для "расплывания" дырки существенны даже слабые столкновения с рассеянием молекул на малые углы порядка  $\Gamma/\Delta\omega_{\text{доп}}$ . Однако, если давление газа достаточно мало и длина свободного пробега молекул сравнима с диаметром луча, то "дырка" переносится в пространстве на заметное расстояние.

Обнаружить перенос "дырки" в пространстве можно пробной когерентной волной такой же частоты, распространяющейся в противоположном направлении. Такая волна взаимодействует с молекулами, проекция скорости которых на направление сильной волны удовлетворяет другому условию:

$$|\omega_0 - \nu + kv| \gtrsim \Gamma. \quad (2)$$

Если  $|\omega_0 - \nu| \gtrsim \Gamma$ , то не существует молекул, которые удовлетворяют условиям резонанса одновременно с двумя волнами. Исключение составляет область частот  $|\omega_0 - \nu| \lesssim \Gamma$ . Поэтому только при прохождении через центр допплеровской линии пробная волна может провзаимодействовать с молекулами, предварительно насыщенными встречной волной и перелетевшими из одного луча в другой без столкновений. В этот момент поглощение пробной волны резонансно уменьшается, т.е. образуется узкий провал в ее поглощении.

Этот эффект был предсказан в первых работах, в которых предлагалось получать узкие резонансы при насыщении поглощения долгоживущих переходов молекул [1]. Детальная теория эффектов насыщения поглощения в разнесенных полях представлена в [2].

Схема установки изображена на рис.1.  $\text{CO}_2$ -лазер с отпаянной трубкой длиной 60 см и диаметром 10 мм работал на длине волны 10,6 мк (на линии  $P(16)$ ) в одномодовом режиме. На частоте линии  $P(16)$   $\text{SF}_6$  обладает наибольшим поглощением ( $\kappa_0 = 1,3 \text{ см}^{-1} \cdot \text{мбар}^{-1}$ ), что позволяет работать при небольших давлениях  $\text{SF}_6$ , когда длина свободного пробега молекул максимальна.

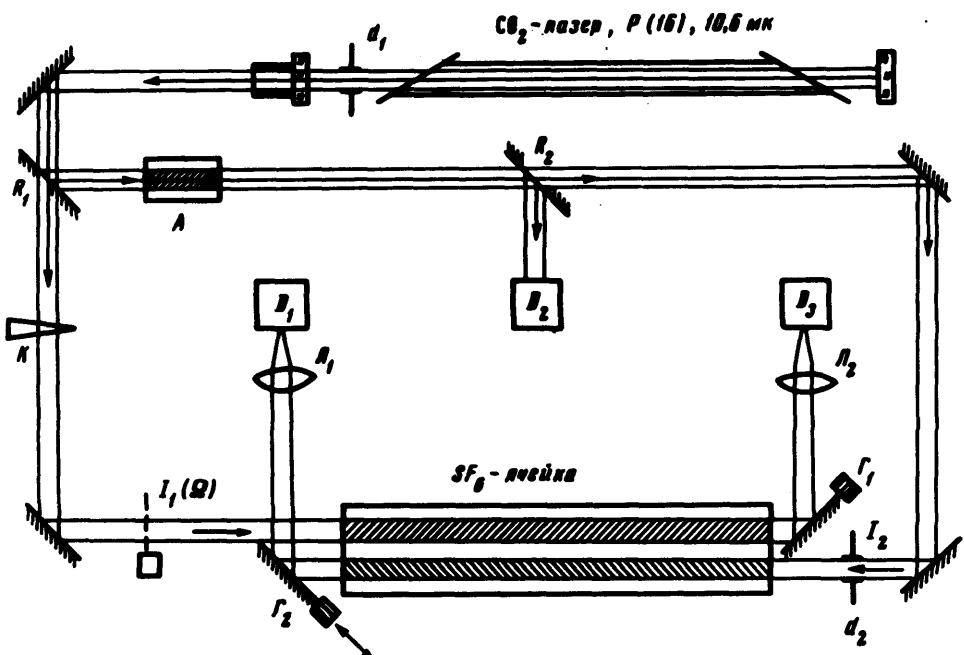


Рис.1. Схема экспериментальной установки:  $d_1$ ,  $d_2$  – диафрагма;  $R_1$ ,  $R_2$  – полупрозрачные зеркала,  $A$  – аттенюатор,  $k$  – калиброванная пластина,  $O$  – механический прерыватель,  $r_1$ ,  $r_2$  – полностью отражающие пластины,  $L_1$ ,  $L_2$  – линзы,  $D_1$ ,  $D_2$ ,  $D_3$  – Ge: Au-детекторы

С помощью делительной пластинки  $R_1$  и системы диафрагм излучение  $\text{CO}_2$ -лазера поступало во внешнюю  $\text{SF}_6$ -ячейку в виде двух разнесенных встречных бегущих волн. Длина поглощающей ячейки составляла  $L_{\text{погл}} = 120 \text{ см}$ , диаметр 36 мм. Одна из двух волн,  $I_1(\Omega)$ , насыщала поглощение, ее интенсивность регулировалась калиброванной пластинкой  $k$  и модулировалась на частоте  $\Omega = 900 \text{ Гц}$ . Интенсивность второй волны  $I_2$  ослаблялась аттенюатором в виде короткой ячейки, заполняемой  $\text{SF}_6$  при большом давлении. Слабый пробный луч проходил через щель  $d_2$  шириной 4 мм и после отражения от полностью отражающей прямоугольной пластинки  $r_2$  регистрировался Ge: Au-детектором. Сигнал детектора усиливался узкополосным уси-

лителем на частоте  $\omega$  и после синхронного детектирования подавался на самописец. Изменение расстояния между разнесенными световыми волнами производилось параллельным перемещением пластиинки  $2$ , плавно перекрывающей сильную световую волну.

4. На рис.2 показана зависимость амплитуды полученных молекулярных резонансов от параметра  $d$ , определяющего эффективное расстояние между лучами (рис.2, а). Поскольку величина сигнала при одинаковом параметре насыщения пропорциональна начальному коэффициенту поглощения, или давлению в ячейке, амплитуды резонансов в максимуме были отнесены к единице. В области высоких давлений пик возникает за счет неизбежного слабого дифракционного перекрытия лучей. Из графика видно, что с уменьшением давления зависимость амплитуды резонансов от параметра перекрытия световых волн сдвигается в область больших значений  $d$ . Этот сдвиг составляет приблизительно 0,8 мм при изменении давления  $SF_6$  в ячейке от 35 до 4,5 мтор, и обратно пропорционален давлению, что может быть объяснено только эффектом переноса "провала" из одной световой волны в другую на величину, равную длине свободного пробега молекул. Влияние изменения параметра насыщения  $SF_6$  в ячейке при разнесении световых полей исключается тем обстоятельством, что при уменьшении этого параметра при том же давлении в ячейке за счет введения калиброванных ослабителей ход кривых не изменяется.

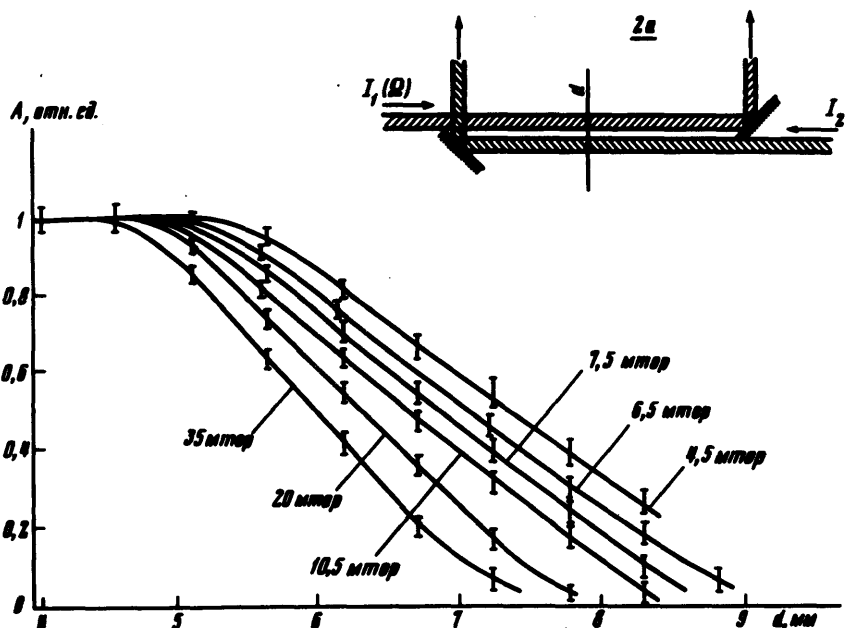


Рис.2. Зависимость приведенной амплитуды резонансов от параметра перекрытия лучей для различных давлений  $SF_6$

Был поставлен также контрольный опыт для исключения влияния изменения оптической плотности  $D = \kappa_0 L_{\text{погл}} p s_{F_6}$ , которое происходило

дит при изменении давления  $p_{SF_6}$ . Для этого насыщение осуществлялось излучением на линии  $p(18)^6\text{CO}_2$ -лазера, для которой  $\kappa_0 = 0,5 \text{ см}^{-1} \cdot \text{мор}^{-1}$ , то есть в 2,6 раза меньше при том же давлении. Положение и ход кривых при разнесении лучей при этом не изменились.

По сдвигу кривых на рис.2 при уменьшении давления в ячейке определяется величина переноса провала. Она оказалась равной  $\rho\Lambda_{\text{проб}} = (4,5 \pm 1,0) \cdot 10^{-4} \text{ см} \cdot \text{мор}$ , т.е. совпадает с длиной свободного пробега по данным работ [3, 4].

В настоящем эксперименте наблюдался эффект пространственного переноса "дырки" в распределении молекул по скоростям и узкий резонанс при насыщении поглощения в разнесенных лучах без участия эффектов когерентного взаимодействия. Переход к более низким давлениям позволит про наблюдать эти эффекты, аналогично тому, как это сделал Рамси в радиодиапазоне с помощью пучка атомов и двух разнесенных резонаторов [5].

В заключение авторы выражают благодарность Е.Л.Михайлову и А.Р.Кукуджанову за помощь в подготовке эксперимента и В.А.Семчишена за помощь в проведении его.

Институт спектроскопии  
Академии наук СССР

Поступила в редакцию  
25 мая 1971 г.

#### Литература

- [1] В.С.Летохов. Письма в ЖЭТФ, 6, 597, 1967; ЖЭТФ, 54, 1244, 1968.
- [2] В.С.Летохов, Б.Д.Павлик. Тезисы Всесоюзного Совещания по физике газовых лазеров, июнь 1969 г. Новосибирск.
- [3] P.Rabinowitz, R.Keller, J.T.La Tourrette. Appl. Phys. Lett., 14, 376, 1969.
- [4] Н.Г.Басов, О.Н.Компанец, В.С.Летохов, В.В.Никитин. ЖЭТФ, 59, 394, 1970.
- [5] Н.Рамзей. Молекулярные пучки. ИИЛ, 1960, гл.5.